

Bild->Bild: Bildbe-/verarbeitungs

Bild->Beschreibung: Bildanalyse (Mustererkennung)

Beschreibung->Bild: Generative Computergrafik

Einsatz von Computergrafik:

Unterhaltung
Fertigung
Ausbildung
Medizin

Komponenten:

Input-Daten
Geometrie
Material & Beleuchtung
Kamera
Bewegungsparameter
Generative Computergrafik
Animation/Simulation

Mathematische Grundlagen:

Vektorrechnung (siehe Lineare Algebra)
Differentialgleichungen (siehe Mathe2)

Verschiebung: Addition mit Vektor

Punkte: $P-Q$ =Vektor, $P+v$ =Punkt

Farbe:

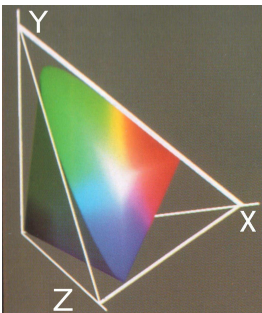
Additives Farbmodell (RGB, Red-Green-Blue):

verwendet bei Monitoren

3 Farben (Blau 436nm, Grün 546nm, Rot 700nm)

Addition der Farbfrequenzen ergibt neue Farben (manche Farben benötigen negative Gewichte)

CIE-XYZ-Modell: Y =Helligkeit, X,Z =Koordinaten der Farbvalenzen



$$(R) \begin{pmatrix} 2.365 & -0.875 & -0.468 \end{pmatrix} (X)$$

$$(G) = (-0.503 \quad 1.392 \quad 0.086) * (Y)$$

$$(B) \begin{pmatrix} 0.005 & -0.014 & 1.009 \end{pmatrix} (Z)$$

Subtraktives Farbmodell (CMY, Cyan-Magenta-Yellow):

verwendet bei Druckern

Frequenzen werden aus weißem Licht absorbiert

$C=G+B$, $M=R+B$, $Y=R+G$

$$(C) \begin{pmatrix} 1 & (R) \end{pmatrix}$$

$$(M) = (1) - (G)$$

$$(Y) \begin{pmatrix} 1 & (B) \end{pmatrix}$$

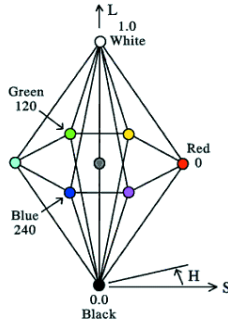
HLS-Farbmodell (Hue-Luminance-Saturation, Farbe-Helligkeit-Sättigung):

$$H \in [0^\circ, 360^\circ], S, L \in [0, 1]$$

H=0°: rot, H=120°: grün, H=240°: blau

S=0: Graustufe, S=1: reine Farbe

L=0: schwarz, L=1: weiß



Gamut: Bereich der mit einem Medium erzeugbaren Farbvalenzen

Grundformate:

Vektorformat: Beschreibung durch math. Primitive (Punkt, Linie, Kreisbogen...)

+: Bildschärfe auch bei Skalierung, wenig Speicher bei einfachen Bildern

-: Speicherung von Details aufwendig oder unmöglich
geeignet für technische Zeichnungen oder Diagramme

Formate: DXF, IGES, PS, CGM, WMF, ...

Rasterformat (meistens verwendet): Pixelmatrix

+: punktgenaue Darstellung, Transparenz möglich

-: bedingt skalierbar, speicherintensiv bei einfachen Bildern
geeignet für detailreiche Bilder (z.B. Fotos)

Formate: JPEG, TIFF, GIF, PNG, PNM, XPM, ...

Komprimierung:

verlustfrei: ursprüngliche Daten wiederherstellbar (z.B. PNG, ...)

verlustbehaftet: möglichst geringe visuelle Artefakte (z.B. GIF, JPEG, ...)

Farben: HighColor: 16 Bit (5R, 6G, 5B) => 65.536 Farben

TrueColor: 24 Bit (8R, 8G, 8B) => 16.777.216 Farben oder 32 Bit mit Transparenz

Quantisierung: (Verlustbehaftete) Reduktion der Farbanzahl oder -tiefe

Runlength-Encoding: Anzahl Wiederholungen mit Escape-Symbol speichern

Difference-Coding (Videos): Differenzwerte benachbarter Symbole speichern (bei Frames)

Fehler addieren sich => nach einigen Frames Vollbild speichern

Huffman-Codierung: häufiges Symbol -> kleiner Binärwert (siehe Info1)

Frequenzraumverfahren: Entfernung unwichtiger Teile (z.B. hohe Frequenzen)

Raytracing (genauerer siehe unten):

Szenenbeschreibung:

Objekte/Modelle: Geometrie (z.B. Polygone), Materialeigenschaften

Lichtquellen

Kamera

Szenenbeschreibung -> Renderer -> Bild

Strecke, Streckenzug: Direkte Verbindung mehrerer Punkte

Polygon: Fläche innerhalb eines geschlossenen, ebenen Streckenzuges

Polygonnetz, Polyeder: Zusammenhängende Polygone mit gemeinsamen Eckpunkten

Lichtinteraktion mit Materialien:

Absorption

Reflexion (spiegelnd oder diffus)

Transmission (Transparenz)

Mehrere Interaktionen gleichzeitig sind möglich

Lichtbrechung:

$$\text{Brechungsindex } n = \frac{\text{Lichtgeschw. im Vakuum } c}{\text{Lichtgeschw. in Materie } v}$$

Übergang zw. Materialien: $\sin(\theta_1)n_1 = \sin(\theta_2)n_2$ (θ = Winkel zur y-Achse)

Vereinfachtes Lichtmodell:

Licht geht nur von einem Punkt aus

(r_l)

$L = (g_l)$

(b_l)

Lichtquellen:

Punktlicht: gleiche Intensität in alle Richtungen

Richtungslicht: paralleles Licht aus Richtung l (Quelle unendlich weit entfernt)

Spotlicht: Punktlicht mit Richtungskonus und cutoff-Winkel (wird evtl. nach außen schwächer)

Lichtintensität kann mit steigender Entfernung abnehmen

$$\text{Cutoff-Abschwächung: } L(d) = \begin{cases} <d_0, d>^n L_0, & \text{wenn } \arccos(<d_0, d>) < \text{cutoff} \\ 0, & \text{sonst} \end{cases}$$

Einfache Linse:

Brennpunkt F, F'

Brennweite f: Abstand Brennpunkt zur Linsenmitte

Bildebene: Aufnahmeebene (P in Objektebene -> P' in Bildebene)

Unschärfe, falls P' vor/hinter Bildebene liegt

Physikalische Lochkamera: Bild hinter Lochblende, gespiegelt

Virtuelle Lochkamera: Bild vor Lochblende, keine Spiegelung

Raycasting:

Kamera/Augpunkt hinter Bildebene

Strahlen vom Augpunkt durch jedes Bildpixel in den Raum

Schnittpunktberechnung mit allen Objekten

kein Schnittpunkt: Hintergrundfarbe

Schnittpunkte: nächsten ermitteln, Farbe mittels Beleuchtungsmodell ermitteln

Die Schnittpunktberechnung benötigt ca. 95% der Rechenzeit

Schnittpunktberechnung:

$$R(a) = V + a \cdot r$$

gesucht: kleinstes a mit: R(a) liegt auf Objektoberfläche

$$F: \mathbb{R}^3 \rightarrow \mathbb{R}: F(P) = 0 \text{ (Objektbeschreibung)}$$

$$\text{Schnittpunkte: } R(a): \{ a > 0: F(R(a)) = 0 \}$$

Vorgehen: F(R(a)) nach a umstellen, a in R(a) einsetzen

Schnittpunkt mit Polygon:

S = Schnittpunkt mit Polygonebene

beliebigen Strahl von S in Polygonebene wählen

Anzahl Schnitte mit Polygonkanten gerade/ungerade \Leftrightarrow S liegt außen/innen

Umsetzung von Point-In-Polygon:

gegeben: ebenes Polygon, Schnittpunkt von R(a) mit Polygonebene

Eck-/Schnittpunkte auf R2 abbilden (z-Komponente entfällt, =>P', S')

S' := Ursprung => P''=P'-S', S''=(0,0)

Trivial Reject (TR): kein Schnitt bei: $x_i'' < 0 \wedge x_{i+1}'' < 0$, $y_i'' < 0 \wedge y_{i+1}'' < 0$, $y_i'' > 0 \wedge y_{i+1}'' > 0$

Gesucht: $a_i \in [0,1] : (1-a_i)P_i'' + a_i P_{i+1}'' = (*, 0) \Rightarrow$ y-Komp: $a_i = \frac{-y_i''}{y_{i+1}'' - y_i''} \Rightarrow$ Prüfe auf pos. x-Wert

Sonderfall: Punkt auf x-Achse: Schnittpunkt wenn $y_{i-1}'' * y_{i+1}'' < 0$

Phong Beleuchtungsmodell:

ambienter Anteil (Hintergrundlicht, Objektform) $I_a = k_a * L_a$ (k=Materialkonstante)

diffuser Anteil (diffuses Reflexionsverhalten) $I_d = \max \{ \langle n, l \rangle, 0 \} * k_d * L_d$

spiegelnder Anteil (spiegelndes Reflexionsverhalten) $I_s = \max \{ \langle l, r_v \rangle, 0 \} * k_s * L_s$

weitere Größen:

n = Normalenvektor d. Oberfl., l = Lichtvektor, v = Viewvektor, r_v = refl. Viewv.,

Θ , $\alpha = \angle(n, l)$, $\angle(l, r_v)$

Berechnung von Normalenvektoren:

gegeben: Polygon (P_1, \dots, P_k)

$$\vec{n} = (P_2 - P_1) \times (P_3 - P_1), \quad n = \vec{n} / |\vec{n}|$$

bei Flächen $F(u, v)$:

$$\vec{n} = \frac{\partial F}{\partial u}(u_0, v_0) \times \frac{\partial F}{\partial v}(u_0, v_0), \quad n = \vec{n} / |\vec{n}|$$

Raytracing:

Generierung realitätsnaher Bilder mit Reflexionen und Schatten

Verwendung von Strahlenbäumen (Auge->Objekt->...->BG, je mit Licht, Hintergrund, Material)

$$I = \rho(P_1, L)(I_d^1 + I_s^1) + k_s^1 * I(r_{v,1}) + k_t^1 * I(t_1)$$

$$I(r_{v,1}) = \rho(P_2, L)(I_d^2 + I_s^2) + k_s^2 * I(r_{v,2}) + k_t^2 * I(t_2)$$

$I_{d,s,t}^i$: diff., spiegel., transm. Anteil bei P_i , $k_{d,s,t}^i$: Reflexionskoeff.

$$\rho(P, L) = \begin{cases} 0 & \text{L von P verdeckt} \\ 1 & \text{L von P sichtbar} \end{cases}$$

Anti-Aliasing:

Problem: Pixelige Objektkanten

Lösung: Strahlen an Pixelecken statt in der Mitte

=> 4 Strahlen in Objekt=Farbe kräftig, weniger Strahlen=Farbe verblasst (Interpolation)

Beschleunigungen:

Bounding-Objekt: komplexe Obj. in einfache Formen packen

Schnitt mit einfacher Form=weiter testen, sonst nicht

Achsenparallele Boundingbox: Schnitt mit R(a):

$$a_{max}^y < 0, \max \{ a_{min}^i \} > \min \{ a_{max}^i \} \Rightarrow \text{kein Schnitt, Schnitt bei } \max \{ a_{min}^i \} < \min \{ a_{max}^i \}$$

Octree: Szene in Quader unterteilen, Objektzahl pro Quader (ganz oder teilweise) gleich

pro Quader speichern: Nachbarquader, enthaltene Objekte, P_{min} , P_{max}

vom Strahl durchlaufene Quader ermitteln, Schnitttest mit enthaltenen Objekten

Beam-Tracing: Strahlenbündel mit gleichem Strahlenbaum, statt einzelne Strahlen

Rasterbasierte Grafik:

keine Strahlen vom Beobachter

Jedes Objekt wird direkt auf die Bildebene projiziert

Keine indirekten Effekte wie Schatten möglich

Blickwinkel bestimmen->Rundungen linearisieren->Blickwinkel zu Einheitsquader->

->verdeckte Objektteile entfernen

Rasterisierung: Approximation exakter Polygone durch Pixel

Schattierung: Fortsetzung lokaler Farbwerte auf Pixel (Fragmente)

Fragment-Operationen:

Visibilität: Überprüfen der Fragmente auf Verdeckung

Alpha-Blending(Transparenz), Stencil- und Alpha-Test(Verwerfen von Pix/Fragm für spez. Eff.)

OpenGL: Open Graphics Library, 3D rasterbasierter Grafikstandard

Definition von Primitiven/Materialeigenschaften/Lichtquellen

Hierarchische Anordnung von Objekten zu einer Szene (inkl. Kamera)

Generierung eines Pixelbildes anhand der Szeneinformationen

meist in C/C++ geschrieben

keine eigene GUI, Anbindung: GLUT, Qt

Primitive (beginnen immer mit GL_):

POINTS, LINES, LINE_STRIP, LINE_LOOP (Punkte, Linien, Linienzug, geschl. Linienzug)

TRIANGLES, TRIANGLE_STRIP, TRIANGLE_FAN (Dreieck (-streifen/-fächer))

QUADS, QUAD_STRIP (Viereck (-streifen))

POLYGON (n-eckig)

Definition:

glBegin(*Primitiv*);

glVertex3f(x,y,z); (für jeden Eckpunkt wiederholt, von vorne gegen den Uhrzeigersinn)

glEnd();

Weitere Funktionen:

glEnable(GL_LIGHTING) – aktiviert Beleuchtungsberechnung

glEnable(GL_LIGHT0) – aktiviert Lichtquelle 0/8 (min)

glLightf() - setzen verschiedener Lichtparameter

glNormal3f() - Normalenvektor für Vertex setzen (für Beleuchtungsberechnung)

glMaterialf() - Materialkonstanten setzen

glutInitDisplayMode – Displaymodus initialisieren (siehe Framebuffer)

drawScene() - Szene aus Backbuffer zeichnen

swapBuffers() - Front-Backbuffer vertauschen

glTranslatef(x,y,z) – Verschieben (siehe Translation)

glScalef(sx,sy,sz) – Skalierung

glRotatef(angle,x,y,z) – Rotation

Transformationen werden nach Modellkoordinaten ausgeführt

gluLookAt(V,L,u) – Beobachter festlegen(Nullpunkt, LookAt, up-V. spannt m. L y-z-Ebene auf)

glOrtho – orthographische Transformation

glFrustum, gluPerspective – perspektivische Transformation

Hardwarebeschleunigung:

Teile des Bildgen.-prozesses je nach Rechnerausstattung in Hardware durchgeführt

Grafik-Programmierung muss Hardware-unabhängig sein

Grafik-Bibliothek: Init erkennt vorh. Hardware-Features, Umsetzung autom. (Hard-/Software)

Framebuffer:

verwaltet Informationen pro Pix: Farbe, Tiefe, weitere Buffer (Spiegel, Schatten, Unschärfe...)

Bitplanes: Color(Front), Color(Back), Depth (z-Buffer, Verdeckungs-Berechnung)

Displaymodus: bestimmt Framebuffer-Ressourcen für Anwendung

Doublebuffer: getrennte Buffer für Generierung und Anzeige (Anzeigerate const./Erstellrate var.)

Transformationen und Modellhierarchien:

Aufgaben für Szeneerstellung:

- Bewegung v. Objekten (Verschieben, Drehen, Skalieren)
- Bewegung zusammengesetzter Objekte (z.B. Charaktere)
- flexible Arten der Modellerstellung (CG2)
- anwendungsspezifische Modellierungstechniken (CG2)

Affine Transformation:

Grundlage für Positionierung von Objekten und Wechsel des Koordinatensystems

A. Kombination: Punkte $P_1, \dots, P_k \in A$, Skalare s_1, \dots, s_k , $\sum_{i=1}^k s_i = 1 \Rightarrow \sum_{i=1}^k s_i P_i \in A$ ebenfalls ein Punkt

Konvexe Hülle: kleinste, umf. konv. Menge: $Q = \sum_{i=1}^k s_i P_i$, $\sum_{i=1}^k s_i = 1$, $s_i \geq 0$

Affine Transformationen bestehen aus einer linearen Abbildung und einer Translation

=> $T(\text{Vektor } P) = \text{nxn-Matrix} * \text{Vektor } P + \text{Vektor } t$

Homogene Koordinaten: Hinzunahme einer vierten Koordinate

$$P = \begin{pmatrix} p_x \\ p_y \\ p_z \\ 1 \end{pmatrix} \rightarrow \begin{bmatrix} p_x \\ p_y \\ p_z \\ 1 \end{bmatrix}, \quad v = \begin{pmatrix} v_x \\ v_y \\ v_z \end{pmatrix} \rightarrow \begin{bmatrix} v_x \\ v_y \\ v_z \\ 0 \end{bmatrix}, \quad M \begin{pmatrix} p_x \\ p_y \\ p_z \\ 1 \end{pmatrix} + \begin{pmatrix} t_x \\ t_y \\ t_z \end{pmatrix} \rightarrow \begin{bmatrix} M & t_x \\ & t_y \\ & t_z \\ 0 & 0 & 0 & 1 \end{bmatrix} \begin{bmatrix} p_x \\ p_y \\ p_z \\ 1 \end{bmatrix}$$

Translation (Verschiebung): $P \rightarrow P+T$

Skalierung: $P \rightarrow S * P$

Rotation: $R_{\text{Achse, Winkel}} * P$ (R =Matrix, je nach Achse anders, Rot-Achse auf Diagonale = 1)

Affine Transformationen sind nicht kommutativ

Unterscheidung zw. Weltkoordinaten (WC) und Modellkoordinaten (MC)

$MC \rightarrow WC: P^{WC} = (T_{(2,0,0)}(R_{z,-30^\circ}(S_{(1,2,1)}P^{MC})))$

Viewing Transformation:

Einbetten des Beobachters durch eigenes Beobachterkoordinatensystem

Objekte in WC

Rechtshändiges, orthonorm. Beobachterkoordinatensystem(V_x, y, z) ($-z$ =Richtung)

$WC \rightarrow VC: T_V = \begin{bmatrix} A^T & -A^T V \\ 0 & 0 & 0 & 1 \end{bmatrix}, \quad A = (v_x, v_y, v_z)$

Projektionstransformation:

legt Sichtbereich und Transformationsart(orthographisch oder perspektivisch) fest

Sichtbereich nach NDC: $[-1, 1]^3$ linkshändig (z =Abstand zum Beobachter)

Orthographische Transformation: orthogonale Projektion auf Ebene

Perspektivische Transformation: Pyramidenstumpf, Spitze=Beobachter, Dach=Bild

für Raytracing ungeeignet, da nicht winkel-erhaltend

Geraden auf Geraden abgebildet, Punkteordnung erhalten

Geraden durch Beobachterpunkt werden z -achsenparallel => Tiefenabstände verzerrt

kleine Abstände größer, große Abstände kleiner

Hierarchische Modelle:

ermöglichen Mehrfachverwendung eines Objekts

Datenstruktur als gerichteter azyklischer Graph

innere Knoten = Transformationen
 Wurzel = Viewingtransformation V
 Blätter = Geometriebeschreibung der Primitive
 Kanten = gerichtete Verbindungen zwischen Knoten
 Pfad Wurzel->Blatt = gezeichnetes Primitiv, mehrere Vorgänger erlaubt, keine Zyklen
 Matrixstack = speichert (wiederverwendbare) Transformationsmatrizen
 oberste Matrix = Reihenfolge der letzten Transformationen ab V
 Probleme bei mehreren Vorgängern
 Display-Listen = legen statische Befehle unter einem Namen ab, löst Vorgänger-Probleme

Algorithmen der Rastergrafik:

Teile der Grafik-Pipeline:

Geometrie-Subsystem: Clipping, Window-to-Viewport Mapping
 Raster-Subsystem: Rasterisierung, Schattierung & Texturierung
 Fragment-Operationen: Blending, Stencil- und α -Test

Window-to-Viewport Mapping:

Transformation von Window (NDC) in Viewport (Rasterkoordinaten, RC)
 Längenverhältnisse bleiben erhalten

$$p'_x = x_{min}^V + \frac{x_{max}^V - x_{min}^V}{x_{max}^W - x_{min}^W} (p_x - x_{min}^W) \quad (\text{Analog zu } y)$$

Clipping:

Abschneiden von Geometrie außerhalb des Sichtbereichs

Angabe in Window-Edge-Coordinates (WEC):

$$WEC(P) = (wec_L(P), wec_R(P), wec_B(P), wec_T(P)) = (1 + p_x, 1 - p_x, 1 + p_y, 1 - p_y)$$

$$sgn(wec_i(P)) = \text{Innen/Außenlage zur Kante}, |wec_i(P)| = \text{Abstand zur Kante}$$

$$outcode(P) = (b_L, b_R, b_B, b_T), \text{ wobei } b_i = \begin{cases} 1 & \text{falls } wec_i(P) < 0 \\ 0 & \text{falls } wec_i(P) \geq 0 \end{cases}$$

P liegt innerhalb des Fensters, wenn alle outcode-Elemente = 0

Trivial Accept/Reject (TA/TR):

TA: Strecke komplett im Fenster, wenn $outcode(P_1) \vee outcode(P_2) = 0$

TR: $outcode(P_1) \wedge outcode(P_2) \neq 0$ (nicht alle Fälle erfassbar, wenn Strecke Diag. Schneidet)

α -Clipping:

Schnittpunktermittlung mit der erweiterten Fensterkante

$$\alpha_L = \frac{wec_L(P_1)}{wec_L(P_1) - wec_L(P_2)}$$

$$P(\alpha) = P_1 + \alpha(P_2 - P_1)$$

Polygon-Clipping:

Clipping aller Kanten gegen erweiterte Fensterkanten (wenn Polygon konvex)

Clipping gegen konvexe Polygone:

Abstand der Punkte zur Kante mit äußerer Normalen bestimmen

$$wec(P) = -(\vec{n} * (P - Q_i)) > 0 \text{ (innen)}, < 0 \text{ (außen)}, = 0 \text{ (auf der Geraden)}$$

Clipping in 3D:

$$WEC(P) = (w+x, w-x, w+y, w-y, w+z, w-z)$$

Rasterisierung (???, cgAlgo):

Approximation einer Strecke durch Pixel

Schattierungsmodelle:

Flat-Shading: eine Farbintensität pro Pixel => deutliche Kanten, keine glatten Flächen

Gouraud-/Smooth-Shading: eine Farbintensität pro Polygonecke, lineare Interpolation (Ortsabh.)

Lineare Interpolation:

$$P_{ab} = (1 - \alpha_{ab})P_a + \alpha_{ab}P_b \Rightarrow I_{ab} = (1 - \alpha_{ab})I_a + \alpha_{ab}I_b \quad (\text{Fehler bei spiegelnder Reflexion})$$

Texturen:

Darstellung von zu komplexer Geometrie durch 2D-Bilder (Texturen) auf 3D-Objekten

Texturen sind diskrete Bilder aus $n \times m$ Texturpunkten B_{ij} (Texels)

z.T. Verzerrung durch generierte Textur-Koordinaten

Lineares Mapping:

Texturkoordinate (s,t) = Abstand des Vertex P zu einer Ebene

$$E_s: a_s * x + b_s * y + c_s * z + d_s = 0 \quad (\text{entsprechend } E_t)$$

$$s = a_s * p_x + b_s * p_y + c_s * p_z + d_s \quad (\text{entsprechend } t)$$

Bezugssystem: MC (relativ zum Objekt) oder VC (relativ zum Beobachter)

Sphärisches Mapping:

$$\vec{r} = r_v, \quad v = (0, 0, 1)^T$$

$$\begin{pmatrix} s \\ t \end{pmatrix} = \frac{1}{2|r+z|} \begin{pmatrix} r_x \\ r_y \end{pmatrix} + \begin{pmatrix} 1/2 \\ 1/2 \end{pmatrix}, \quad z = (0, 0, 1)^T, \quad r = (r_x, r_y, r_z)^T$$

ungleichmäßige Auflösung, Singularität in -z-Richtung

sehr einfach realisierbar

Interpolation von Texturkoordinaten:**Perspektivische Texturierung:**

$$Q_i^T = (1 - \beta_i)P_1^T + \beta_i P_2^T, \quad \beta_i = i * \Delta_o \in [0, 1], \quad \text{Punkte in Bildebene, } \Delta_o = \text{Schrittweite (const.)}$$

$$\alpha(\beta) = \frac{\beta z_1}{(1 - \beta)z_2 + \beta z_1}$$

$$S_i = (s_i, t_i) = (1 - \alpha(\beta))S_1 + \alpha(\beta)S_2 \quad (\text{Texturkoordinaten})$$

Filterung:

(s,t) stimmen nicht immer mit Texelmittelpunkt überein

Wähle Intensität des nächstliegenden Texel (einfache Rechnung, evtl. Pixel zu sehen) oder

Affin-Kombination aus umliegenden 4 Texel-Intens. (Rechenintensiv, Unschärfe statt Pixel)

$$I = (1 - \alpha)(1 - \beta) B_{i,j} + \alpha(1 - \beta) B_{i+1,j} + (1 - \alpha)\beta B_{i,j+1} + \alpha\beta B_{i+1,j+1}$$

Probleme bei Filterung:

Ungültige (s,t)-Koordinaten

Lösungen: Textur wiederholen oder abschneiden

Unterschiedliche Auflösungen

Minification: Mehrere Texel auf 1 Bildpixel (Aliasing-Effekte, Moire-Effekt)

Verwendung von vorgefilterten Texturverkleinerungen (Mip-Mapping), Pixelgr. ca. Texelgr.

Verbesserung durch Lineare Interpolation zw. benachbarten Mip-Map-Leveln

Magnification: 1 Texel auf mehrere Bildpixel (Textur-Pixel stark sichtbar, besser mit lin. Interp.)

Textur-Funktionen: zur Kombination von Textur- und Beleuchtungsintensität

$$\text{GL_REPLACE: } I(x,y) = I_T(x,y)$$

$$\text{GL_MODULATE: } I(x,y) = I_B(x,y) * I_T(x,y)$$

$$\text{GL_DECAL: } I(x,y) = (1 - \alpha_T(x,y)) I_B(x,y) + \alpha_T(x,y) I_T(x,y) \quad (\text{Textur hat } \alpha\text{-Kanal})$$

$$\text{GL_BLEND: } I(x,y) = (1 - I_C) * I_B(x,y) + I_C * I_T(x,y) \quad (\text{mit zusätzlicher Blend-Farbe})$$

Spezielle Aspekte der Computergrafik:

OpenGL-Vertex-Arrays: zur effizienten Verwaltung großer Polygonnetze

Mehrere Arrays mit Blöcken: Vertex(3), Color(3), Normal(3), TexCoord(2), Index

Index-Array gibt Blockreihenfolge zum Zeichnen an

GL_VERTEX_ARRAY / _COLOR_ / _NORMAL_ / _TEXTURE_COORD_

Pointer für Arrays: glVertexPointer(), glNormalPointer(), ...

Blending und Transparenz:

opaque: getrübt (Angabe für Lichtundurchlässigkeit)

Transparenzinformationen im α -Kanal

Destination = $(1 - S_\alpha) * \text{Destination} + S_\alpha * \text{Source}$ (Destination=Hintergrund, auch mit α -Kanal)

Billboarding:

Darstellung von Objekten mit unscharfen Kanten (z.B. Bäume)

Textur auf Polygone auftragen -> Polygone zum Beobachter ausrichten (auffälliges Mitdrehen)

Erweiterte Framebuffer-Funktionalität:

weitere Buffer für Schatten, Spiegeleffekte, etc

Stencil-Buffer: bestimmte Eigenschaften in bestimmten Bildbereichen

Zeichnen nur in bestimmten Bildbereichen (Masken)

Spiegelung über Stencil-Maske

Accumulation-Buffer: Anti-Aliasing, Bewegungsunschärfe, Tiefenunschärfe

Antialiasing: Jittern: zufällige kleine Verschiebung in Bildebene, umrechnen auf Ursprungswert

Unschärfe: mehrfaches Zeichnen und Überlagern der Teilergebnisse

Objektbeschreibungen:

Kugel: $F(P) = \langle (P - M), (P - M) \rangle - s^2 = 0$